

مطالعه‌ی آزمایشگاهی و تحلیلی سیستم مهاربندی همگرای مرکب با پانل برشی فولادی

مسعود خواجه‌پول*

(کارشناسی ارشد)

عرفان علوی (دکتری)

فریدوز ناطقی‌آهنی (استاد)

پژوهشگاه بین‌المللی زلزله‌شناسی و مهندسی زلزله

تحقیقات گذشته نشان داده است که ورق‌های نازک فولادی در برش عملکرد مطلوبی دارند که با توجه به این ویژگی، از این مکانیزم در سیستم‌های مقاوم جانبی مانند دیوار برشی فولادی استفاده می‌شود. در این مطالعه، برای بهبود عملکرد لرزه‌ی قاب‌های مهاربندی همگرای از پانل برشی فولادی استفاده شده است. از این‌رو، یک سیستم ترکیبی توسعه داده شده و رفتار غیرخطی آن به صورت تحلیلی و آزمایشگاهی بررسی شده است. در این مطالعه‌ی آزمایشگاهی، یک مدل پانل برشی یک طبقه با اتصال مفصلی اعضای مرزی در ۴ گوشی قاب و همچنین اتصال پیچی اعضای مرزی به ورق پرکننده انتخاب شده است. نمونه‌ی موردن بررسی تحت بارگذاری شبکه‌ایستاییکی سیکلی در امتداد قطری قرار گرفت. نتایج حاصل از این آزمایش نشان دهنده عملکرد لرزه‌ی مطلوب سیستم، جذب انرژی مناسب، و رفتار پایدار در نواحی غیرخطی است. تحلیل اجزای محدود نمونه‌ی آزمایشگاهی انجام و نتایج آن ارائه و انتطاق خوبی بین نتایج تحلیلی و آزمایشگاهی مشاهده شده است.

m.khazaei.poul@gmail.com
e.alavi@iiees.ac.ir
nateghi@iiees.ac.ir

وازگان کلیدی: مطالعه‌ی آزمایشگاهی، پانل برشی فولادی، هیسترزیس، تحلیل غیرخطی، مهاربند همگرای.

۱. مقدمه

به مزبوری اینکه طراحی سازه‌ها به صورت کشسان غیراقتصادی است، سازه‌ها طوری مطالعاتی نیز بر روی تیر پیوند برشی آلومینیومی برای بهبود رفتار لرزه‌ی قاب‌های با مهاربند خارج از مرکز (شورون) انجام شده است.^[۱] همچنین در طی مطالعاتی به بررسی تحلیلی رفتار سازه‌های فولادی مرکب با پانل‌های صفحه‌یی از جنس فولاد، فولاد با تنفس جاری‌شدن پایین و نوع خاصی فایبریک صفحه‌یی پرداخته شده است.^[۲] نوعی سیستم مهاربندی چرخون مرکب با پانل برشی از جنس آلومینیوم و فولاد هم به منظور اتلاف انرژی از طریق رفتار هیسترزیس و تغییرشکل‌های خمیری پانل پیشنهاد داده شده است.^[۳] در مطالعاتی نیز به بررسی عملکرد هیسترزیس میراگرهایی به صورت پانل برشی و ارجنس فولاد با تنفس جاری‌شدن پایین پرداخته شده است.^[۴] همچنین در سال ۲۰۰۸ در بررسی ظرفیت جذب از پانل برشی آلومینیومی سخت شده و همچنین به اثر لاغری موضوعی فواصل مهاربندی در رفتار پانل پرداخته شده است.^[۵] در پژوهشی دیگر نیز نوعی فیوز سازه‌یی صفحه‌یی به مزبوری ای عضو فداکار و قربانی با قابلیت تعییر آسان در سیستم‌های مهاربندی ارائه داده شده است.^[۶] همچنین نوعی پانل برشی آلومینیومی به صورت ستونی برای بهسازی لرزه‌یی سازه‌های بتمنی پیشنهاد شده است.^[۷] در پژوهشی نیز از پانل برشی آلومینیومی در مهاربند همگرای جذب بخشی از انرژی زلزله استفاده شده است.^[۸] مطالعاتی هم در مورد قاب‌های مهاربندی با المان جاری‌شونده و

به دلیل اینکه طراحی سازه‌ها به صورت کشسان غیراقتصادی است، سازه‌ها طوری طراحی می‌شوند که تحت بارهای لرزه‌یی متوسط تا شدید، وارد ناحیه‌ی غیرکشسان شوند تا بخشی از انرژی تحریک ورودی را سختی و مقاومت سازه، و بخشی دیگر را تغییرمکان‌های غیرکشسان سازه تحمل کند. در این نوع طراحی بعد از زلزله‌های شدید، خسارات شدیدی به اعضای اصلی سازه وارد می‌شود؛ به طوری‌که بعد از زلزله قابلیت بهره‌برداری از سازه ممکن نیست و یا این امر با هزینه‌های سیار زیادی که غیراقتصادی است، امکان پذیر می‌شود. برای کاهش خسارات وارد به سازه‌ی اصلی، در دهه‌های گذشته تحقیقات زیادی بر روی نوعی میراگرهای صفحه‌یی فلزی (عناصر قربانی) انجام شده است تا به وسیله‌ی این المان‌ها بخش زیادی از انرژی تحریک ورودی را مستهلك کنند. بعد از زلزله این نوع فیوزها به آسانی و کمترین هزینه و زمان ممکن قابل تعویض هستند. از این المان‌ها به گونه‌های مختلفی می‌توان استفاده کرد. این المان‌ها به صورت دیوارهای برشی فولادی با تنش تسلیم پایین، دیوارهای برشی ستونی که بخشی از دهانه را پوشش می‌دهند و همچنین سیستم‌های مهاربندی مرکب با پانل‌های فلزی در سازه‌ها استفاده می‌شود. در سال ۱۹۹۶ به صورت آزمایشگاهی به بررسی رفتار چرخه‌یی دیوار برشی از جنس فولاد با تنفس جاری‌شدن پایین،

* نویسنده مسئول

تاریخ: دریافت ۲۷/۱۰/۱۳۸۹، اصلاحیه ۱۶/۱۲/۱۳۸۹، پذیرش ۲۴/۳/۱۳۹۰.

به صورت پایدار و پدیده‌ی باریک‌شدگی در این حالت ناچیز است و همچنین تسلیم در کل سطح ورق اتفاق می‌افتد.

پانل‌های برشی با مکانیزم برشی خالص قادر به بهبود و بالا بردن سختی و ظرفیت سیستم هستند و به منزه‌ی یک وسیله‌ی قربانی و فداکار قادر به مستهلاک‌کردن مقدار بزرگی از انرژی وارد شده‌ی ناشی از بارهای لرزه‌ی اند و با تمرکز خسارات در خود پانل، خسارات وارد به سازه‌ی اصلی را کاهش می‌دهند.^[۱۲]

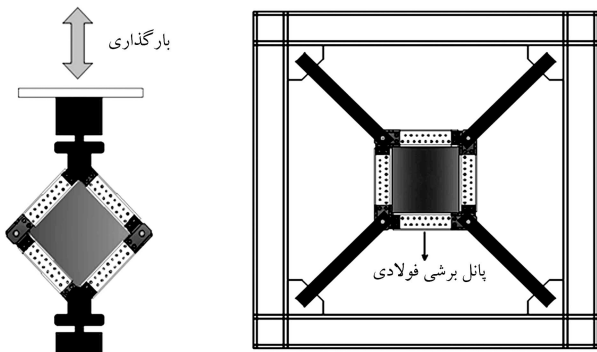
برای داشتن مکانیزم برش خالص، پانل برشی باید طوری طراحی شود که از هر نوع پدیده‌ی کمانش در محدوده‌ی کشسان جلوگیری شود تا پانل وارد تغییرشکل‌های خمیری برشی شود. بدین منظور پانل برشی را با یکسری سخت‌کننده‌ی پشت‌بنده افقی، عمودی، و یا قطری برای جلوگیری از پدیده‌ی کمانش و یا کاهش اثرات آن در محدوده‌ی کشسان مسلح می‌کنند.^[۱۳]

از طرف دیگر در مکانیزم میدان کششی، کمانش برشی زودرس در حالت کشسان اتفاق می‌افتد و در این حالت نیروی برشی جانبی توسط تنش‌های کششی قطری ایجاد شده در ورق پرکننده تحمل می‌شود. در این حالت جذب انرژی نسبت به مکانیزم میدان‌های برشی کمتر است، ولی با این حال ظرفیت جذب انرژی سیستم قابل توجه است و از لحاظ اقتصادی این نوع سیستم نسبت به سیستم سخت‌شده به مراتب اقتصادی‌تر است.

۳. مطالعه‌ی آزمایشگاهی

مطالعه‌ی آزمایشگاهی انجام شده بر روی نوعی سیستم مهاربندی همگراست که در محل برخورد دو مهاربند از یک پانل برشی فولادی (مطابق شکل ۲) استفاده شده است. هدف از قرارگیری این پانل، بهبود رفتار هیسترزیس سیستم مهاربندی همگرا و تمرکز خسارات در این پانل برشی فولادی است.

پانل برشی به صورت یک قاب فولادی مرتعشکل با اتصال مفصلی اعضاست. اتصال ورق پرکننده به اعضا مزدی با تعداد زیاد پیچ با مقاومت بالا انجام شده است، به طوری‌که اتصال بین ورق و قاب فولادی پانل به صورت گیردار رفتار می‌کند. اتصال مهاربند به پانل برشی به صورت مفصلی انتخاب شده است و عملأً اعضای مهاربندی در ظرفیت سیستم بی‌تأثیرند. یکی از نکات مهم در طراحی این نوع



(الف) سیستم مهاربندی همگرا مركب با پانل برشی؛
(ب) سیستم مهاربندی همگرا مركب با پانل برشی معادل انتخاب شده برای مطالعه آزمایشگاهی.

شکل ۲. نحوه قرارگیری پانل برشی فولادی در قاب فولادی و چیدمان آزمایشگاهی آن.

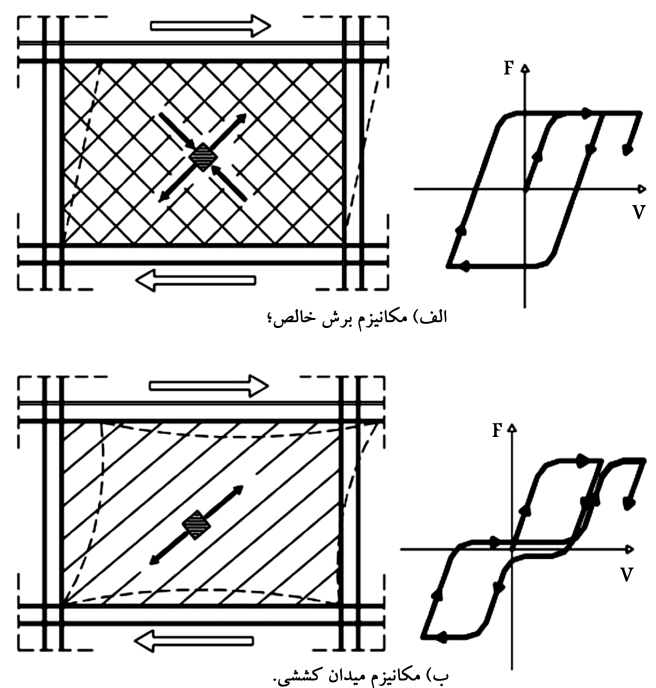
مستهلاک کننده‌ی انرژی انجام شده است.^[۱۱] در مطالعات آزمایشگاهی و تحلیلی انجام شده بر روی ترکیب سخت‌کننده‌های قطری با بازشوی استراتیک در دیوار برشی فولادی نتیجه گرفته شده است که این سیستم دارای جذب انرژی بالا و رفتار لرزه‌ی مناسب است.^[۱۲] به علاوه روابط نظری جهت تخمین ظرفیت دیوار برشی فولادی با شرایط مختلف لاغری و با توجه به نقش سختی اعضا مزدی نیز ارائه شده است.^[۱۳]

در این پژوهش نیز عملکرد سیستم مهاربندی همگرا مركب با پانل برشی فولادی به منظور تمرکز خسارات سازه‌ی در پانل برشی و همچنین بهبود رفتار هیسترزیس سیستم مهاربندی همگرا به صورت آزمایشگاهی و تحلیلی مطالعه شده است.

۲. عملکرد پانل‌های برشی

ورق‌های فولادی نارک اگر تحت بارگذاری برشی قرار گیرند، توانایی ایجاد سختی و مقاومت زیاد به وسیله‌ی میدان‌های کششی قطری مورب ایجاد شده در ورق را خواهند داشت. امروزه از این ایده در دیوارهای برشی فولادی استفاده می‌شود و این سیستم در مقایسه با سیستم‌های مهاربندی، رفتار به مراتب مطلوب‌تر دارد. رفتار هیسترزیس این نوع سیستم نسبتاً پایدار و میزان جذب انرژی آن بالاست. در سیستم‌های سخت‌شده با پشت‌بنده، مقدار پدیده‌ی لاغر شدگی در منحنی هیسترزیس کاهش می‌باشد. به علت جذب بالای انرژی این نوع سیستم‌ها می‌توان پانل‌های برشی فولادی را رجرو دسته‌ی میراگرها محسوب کرد.

مکانیزم جذب انرژی در پانل‌های برشی به ۲ صورت است:^[۱۴] ۱. مکانیزم برش خالص؛ ۲. مکانیزم میدان کششی. شکل ۱، این دو مکانیزم جذب انرژی در پانل برشی (میراگرهای صفحه‌ی) را نشان می‌دهد. ازین این دو رفتار مکانیزم برش خالص دارای رفتار مطلوب‌تری است. رفتار چرخه‌ی غیرکشسان در این نوع مکانیزم



شکل ۱. مکانیزم استهلاک انرژی در پانل‌های برشی.^[۱۴]

تا پانل بتواند وارد تغییرشکل های خمیری شود. نمونه ای آزمایشگاهی سیستم مهاربندی همگرای مرکب با پانل برشی شکل ۲ ب معادل سازی شد. بارگذاری وارد بر نمونه به صورت قطری شکل ۲ ب، و نوع بارگذاری وارد بر نمونه به صورت استاتیکی معادل (سیکلی) و براساس پروتکل [۱۵] ATC-۲۴ و به صورت کنترل - تغییر مکان منظور شد.

انتخاب شده است. ورق پرکننده استفاده شده در این پانل به صورت مربعی با بعد ۴۰ متر از جنس فولاد با تشنج جاری شدن پایین انتخاب شده است. ضخامت ورق پرکننده برابر با ۹۰ میلی متر در نظر گرفته شده است و اتصال این ورق به اعضا مزی با ۲ ردیف پیچ با مقاومت بالا صورت گرفته است و به صورت گیردار عمل می کند.

برای به دست آوردن مشخصات دقیق مکانیکی از جمله رفتار تنش کرنش مصالح، بروی مصالح مصرفی در اعضا مزی و همچنین ورق پرکننده ای آزمایش آزمون کشش^۳ براساس استاندارد ASTMA ۳۷۰-۰۵ انجام شد.^[۱۶] در جدول ۱، خلاصه نتایج حاصل از آزمون کشش ساده ارائه شده است.

۲.۰. چیدمان آزمایش و بارگذاری

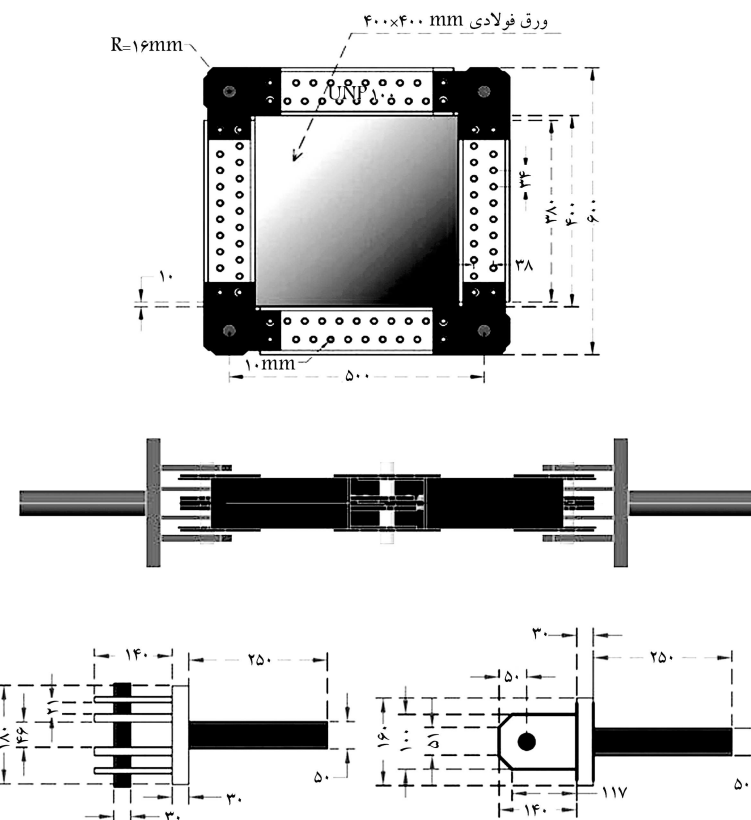
بعد از ساخت نمونه و کنترل ابعاد، نمونه در دستگاه بارگذاری محوری (universal) قرار گرفت و آماده بارگذاری شد. وسایل ثبت دقیق پاسخ ها مانند کرنش سنج ها و

۱.۳. مشخصات پانل برشی فولادی

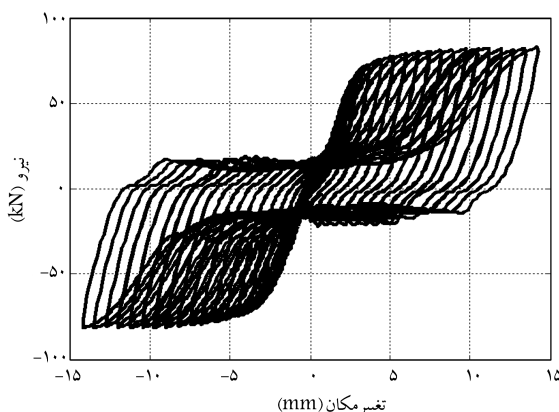
جزئیات اجزای تشکیل دهنده پانل برشی فولادی در شکل ۳ نشان داده شده است. اعضا مزی این پانل برشی متشکل از ۴ بازو با طول یکسان و برابر با ۰,۶ متر طراحی شده است. هر بازو از ۲ پروفیل UNP ۱۰۰ نشکیل شده است که از قسمت جان توسط ۲ ردیف پیچ با قطر ۱۰ میلی متر و با مقاومت بالا متصل شده است. اتصال این ۴ بازو که تشکیل یک قاب مربعی می دهد، به صورت مفصلی

جدول ۱. خصوصیات مکانیکی مصالح مصرفی در پانل برشی.

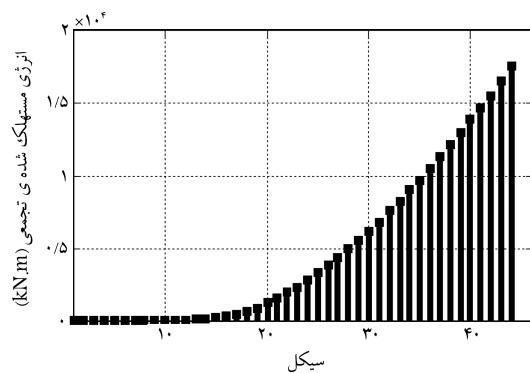
نوع مصالح	مدول کشسانی (%)	تنش تسليم (%)	کرنش حد نهایی (MPa)	تنش نهایی (%)	کرنش گسیختگی (MPa)	کرنش تسليم (GPa)
ورق با ضخامت ۰,۹ میلی متر	۲۲	۲۹	۳۱۰,۷	۲۷	۱۸۰	۲۰۴
ناودانی ۱۰۰	۱۹	۱۸	۴۶۰,۵	۲۳	۳۱۰	۲۰۳



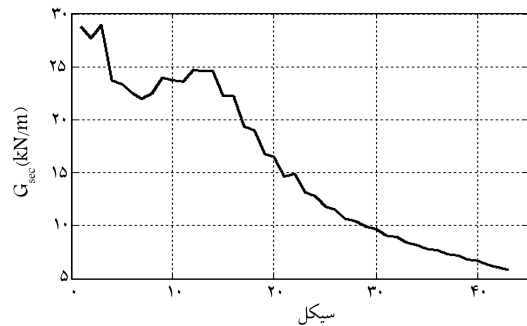
شکل ۳. جزئیات اجزای تشکیل دهنده پانل برشی فولادی نمونه ای آزمایشگاهی (ابعاد به میلی متر).



شکل ۶. منحنی هیسترزیس پانل برشی فولادی (آزمایشگاهی).



شکل ۷. انرژی مستهلاک شده تجمعی در طی سیکل‌های بارگذاری در نمونه‌ی آزمایشگاهی.

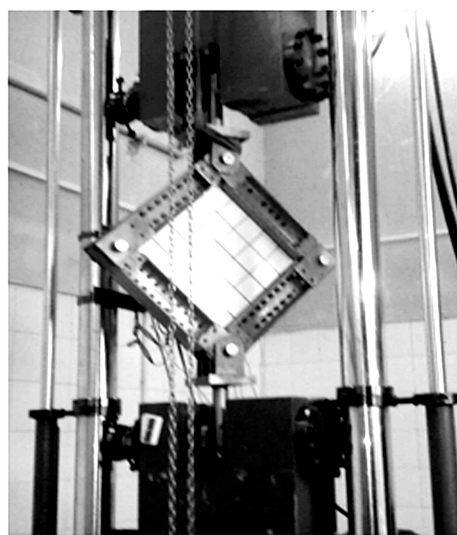


شکل ۸. سختی سکانت نمونه‌ی آزمایشگاهی.

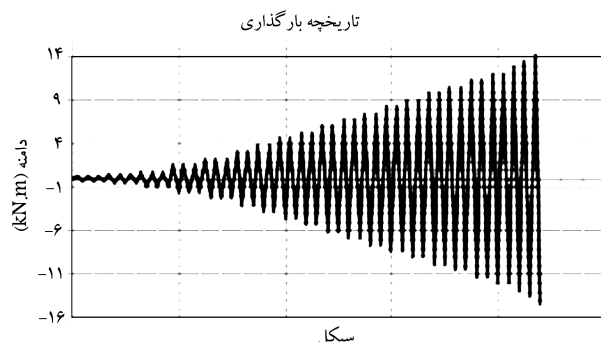
نچیز است. با افزایش بارگذاری و ورود پانل به ناحیه‌ی غیرخطی، میزان انرژی جذب شده در سیکل‌هایی با دامنه‌ی بیشتر افزایش یافته است.

در شکل ۸، روند تغییرات سختی سکانت پانل برشی فولادی نشان داده شده است. مشاهده می‌شود که با افزایش دامنه‌ی بارگذاری سختی سکانت سیستم کاهش می‌یابد.

شکل ۹، ضریب میرایی ویسکوز معادل را برای پانل برشی فولادی در هر سیکل نشان می‌دهد. بر این اساس مشاهده می‌شود که با ورود پانل فولادی به ناحیه‌ی خمیری میزان این ضریب افزایش یافته است و به حدود متوسط ۱۵٪ می‌رسد که نشان‌دهنده‌ی میزان مشارکت نسبتاً بالای پانل برشی فولادی در جذب انرژی ورودی به سیستم است و دلالت بر توانایی پانل برشی در تمرکز خسارات در خود دارد.



شکل ۴. نمونه‌ی قرار گرفته شده در دستگاه بارگذاری محوری برای انجام آزمایش.



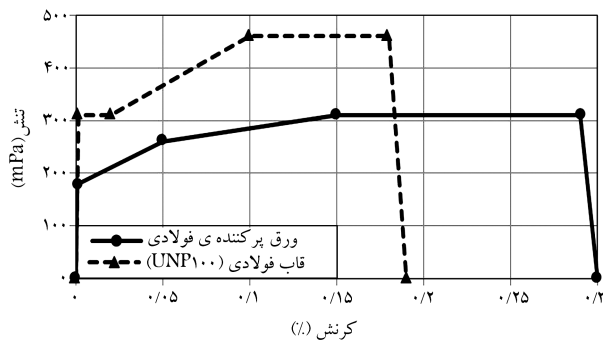
شکل ۵. تاریخچه بارگذاری وارد بر نمونه‌ی آزمایشگاهی (ATC-۲۴).

جابجایی‌سنج‌ها با دقت بر روی نمونه نصب شدند. در شکل ۴، نمونه‌ی آماده شده برای آزمون نشان داده شده است. انتخاب نوع پروتکل بارگذاری بستگی به هدف آزمایش، نوع نمونه‌ی مورد آزمایش و مود قالب شکست نمونه (زوال مقاومتی سریع^۴، زوال مقاومتی آهسته^۵، کمانش عضو و...) دارد. در این مطالعه، پروتکل ATC-۲۴ استفاده شده است و بارگذاری وارد بر نمونه به صورت شباهت‌آفرینی سیکلی و از نوع کنترل شونده تغییرمکان^۶ انتخاب شده است. تاریخچه‌ی باروارشده بر سازه در شکل ۵ نشان داده شده است.

۳.۳. نتایج آزمایش

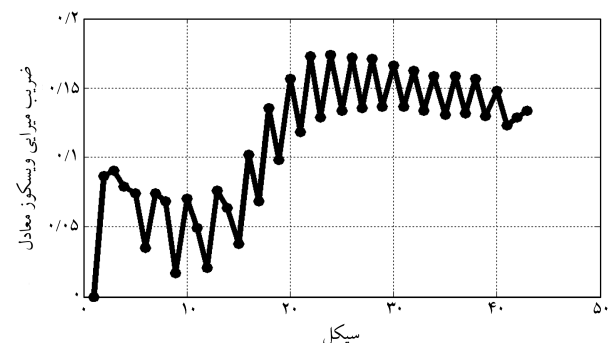
بعد از شروع بارگذاری در شروع سیکل دهم (جابجایی ۱/۵ میلی‌متر)، کماش موضعی در ورق جان مشاهده شد و بعد ازین لحظه افزایش ظرفیت نمونه با تشکیل میدان‌های کششی قطري در ورق جان به موقع پیوست. منحنی‌های هیسترزیس پانل برشی فولادی در شکل ۶ نشان داده شده است. همان‌طور که قابل پیش‌بینی بود به علت عدم استفاده از سخت‌کننده در این پانل پدیده باریک شدنگی در منحنی هیسترزیس قابل ملاحظه است. مقاومت برشی نهایی سیستم براساس نتایج آزمایش، ۸/۲ تن به دست آمد.

در شکل ۷، میزان انرژی مستهلاک شده تجمعی در طی سیکل‌های بارگذاری برای پانل برشی مورد مطالعه ارائه شده است. در سیکل‌های اول بارگذاری به علت اینکه هنوز پانل فولادی در محدوده‌ی ناحیه‌ی کشسان است، میزان انرژی مستهلاک شده

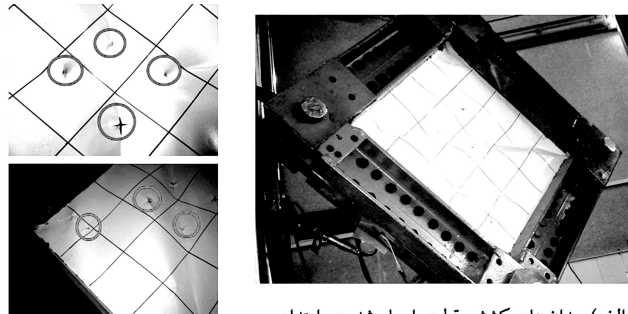


شکل ۱۱. رفتار تنش-کرنش تعریف شده برای فولاد مصالحی در ورق پرکننده و اعضای مرزی در مدل المان محدود براساس نتایج آزمون کشش.

مدل سازی شده است. در این نوع رفتار از مدل بسیانگ استفاده و اثر بوشینگر در نظر گرفته شده است. طبق اصل ساخت شوندگی سینماتیکی در صورت عوض شدن جهت بارگذاری در محدوده غیرخطی، میزان اختلاف بین تنش های کششی و فشاری در یک نقطه از منحنی رفتاری مصالح مقادیر ثابت و مساوی با ۲ برابر تنش تسلیم کششی آن است که در فولاد نرمی ساختمانی برابر با ۰۵ است.^[۱۷]



شکل ۹. ضریب میرایی ویسکوza معادل نمونه آزمایشگاهی.



(الف) میدان های کششی قطری ایجاد شده در امتداد قطر نمونه؛
ب) پارگی های ایجاد شده در جان ورق.

شکل ۱۰. وضعیت پانل برشی فولادی در مراحل پایانی آزمایش.

در شکل ۱۰ الف کمانش خارج صفحه در ورق جان پانل برشی فولادی و تشکیل میدان های کششی قطری نشان داده است. در طی بارگذاری، پارگی هایی در ورق جان در جایهای نسبتاً زیاد به صورت موضعی رخ داده است که در شکل ۱۰ ب نشان داده شده است، همان‌طور که از منحنی هیستوگرام پانل برشی نتیجه می‌شود، این گسیختگی های موضعی تأثیر قابل ملاحظه‌یی در کاهش مقاومت برشی پانل نداشته‌اند.

۴. مطالعه‌ی تحلیلی

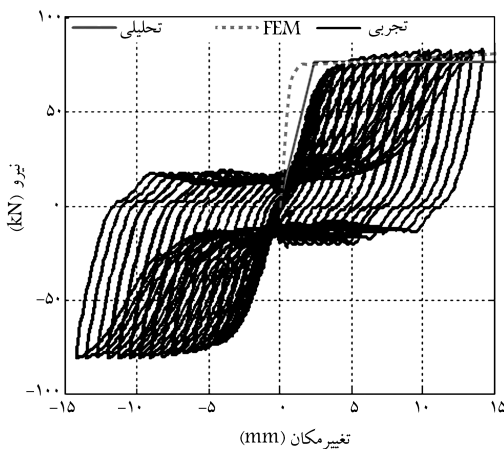
۱.۴. مدل سازی

در مرحله‌ی بعدی نمونه‌ی اجزای محدود پانل برشی فولادی در نرم افزار ANSYS-۱۲ مدل سازی شد. المان مورد استفاده برای مدل سازی اعضای مرزی و ورق فولادی از نوع پوسته‌ی shell ۱۸۱ است. این المان ۴ گرهی است که هر گره آن دارای ۳ درجه‌ی آزادی انتقالی و ۳ درجه‌ی آزادی دورانی است و برای مدل سازی ورقها و پوسته‌ها مناسب است. از ویژگی‌های مهم این نوع المان می‌توان به کاربرد آن در محدوده‌های خطی و غیرخطی، دوران‌ها و کرنش‌های بزرگ غیرخطی اشاره کرد. ابعاد المان‌ها هم به گونه‌یی انتخاب شده است که با کوچک‌ترشدن ابعاد مش تغییر قابل ملاحظه‌یی در نتایج تحلیل ایجاد نشود. برای ایجاد مفصل خمیشی در اعضای بازویی از دو المان MPC ۱۸۴ و COMBIN ۷ به طور ترکیبی استفاده شده است.

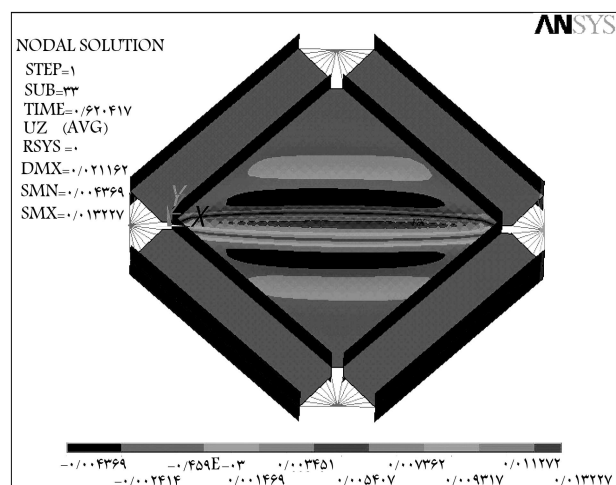
با توجه به در اختیار بودن نتایج آزمون کشش برای مصالح فولادی استفاده شده در آزمایش، در مدل المان محدود رفتار مصالح فولادی به صورت چند خطه و مطابق شکل ۱۱ مدل سازی گردیده است. رفتار مصالح استفاده شده در قاب و ورق پرکننده به صورت رفتار خمیری سخت شونده‌ی سینماتیک^۷ و به صورت مستقل از سرعت^۸

۳. نتایج تحلیل

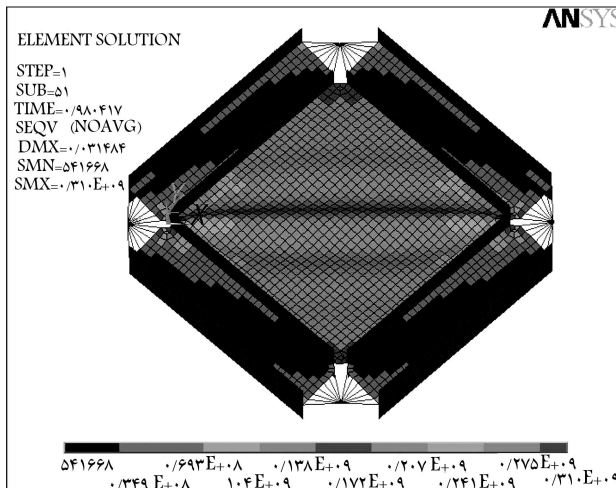
در شکل ۱۲، وضعیت تنش های وان-میسز و تغییرمکان‌های خارج از صفحه‌ی پانل برشی فولادی نشان داده شده است. در این دو شکل تغییرشکل‌های کمانشی



شکل ۱۳. مقایسه‌ی نتیجه‌ی حاصل از آزمایشگاه با نتایج حل عددی و روش المان محدود.



الف) وضعیت تغییر مکان های خارج از صفحه؛



ب) وضعیت تنش های وان-میز
شکل ۱۲. نتایج مدل اجزای محدود پانل برشی.

۵. ضوابط طراحی
برای استفاده از عملکرد مطلوب این نوع پانل‌ها در سیستم‌های مهاربندی همگرا، در طراحی باید تمییداتی در نظر گرفت تا پانل بتواند وارد ناحیه‌ی خمیری شود. نکته‌ی اساسی در طراحی این سیستم آن است که ظرفیت کمانشی اعضای مهاربندی متصل شده به پانل باید بیشتر از ظرفیت پانل برشی فولادی باشد. اگر این شرط در طراحی اعمال نشود ممکن است قبل وارد شدن پانل برشی فولادی به ناحیه‌ی خمیری، اعضای مهاربندی کمانش کنند و عمل مکاپیز برشی در سیستم شکل نگیرد.

ظرفیت برشی یک قاب یک دهانه و یک طبقه با اتصال ساده‌ی تیر به ستون و سیستم مهاربندی همگرای مرکب با پانل برشی فولادی (شکل ۲(الف)) از رابطه‌ی ۱ به دست می‌آید:

$$V_{Fr} = V_{Panel} \quad (1)$$

و ظرفیت تقریبی پانل برشی فولادی در امتداد محور مهاربند، با استفاده از رابطه‌ی ۲ برابر است با:

$$V_{Panel} = \frac{1}{2} \cdot \sigma_y \cdot b \cdot t \cdot \sin(2\alpha) \quad (2)$$

برای اطمینان از اینکه قبل از تسلیم پانل برشی فولادی اعضای مهاربندی تسلیم و یا کمانش نکنند، باید رابطه‌ی ۳ و ۴ کنترل شوند.

$$\Omega_{..} \cdot \frac{V_{Panel}}{2 \cdot \cos(\gamma)} \leq T_{y(Brace)} \quad (3)$$

$$\Omega_{..} \cdot \frac{V_{Panel}}{2 \cdot \cos(\gamma)} \leq P_{cr(Brace)} \quad (4)$$

در این روابط γ زاویه‌ی قرارگیری مهاربندها نسبت به افق، σ_y تنش تسلیم ورق پرکننده، b عرض پانل برشی، t ضخامت ورق پرکننده، α زاویه‌ی میدان‌های کششی نسبت به عرض پانل براساس آین نامه‌ی کناداست. کنترل رابطه‌ی ۳ به منظور اطمینان از تسلیم شدن پانل قبل از اعضای مهاربندی در کشش ارائه شده است. کنترل رابطه‌ی ۴ برای اطمینان از این است که قبل از وارد شدن پانل به ناحیه‌ی غیرکشسان، کمانش تحت نیروهای فشاری در اعضای مهاربندی رخ نداده باشد.

ورق جان و میدان‌های کششی به خوبی قابل مشاهده است. براین اساس می‌توان استنباط کرد که رفتار کلی مدل المان محدود توانسته است رفتار مدل آزمایشگاهی را شبیه‌سازی کند. شبیه‌سازی تنش‌های به وجود آمده در ورق پرکننده در نقاط گوشی پانل برشی فولادی مشاهده شده است. شبیه‌سازی تغییر مکان خارج از صفحه با نتایج آزمایشگاهی برای فولادی در راستای قطری به وجود آمده است که مطابق با نتایج آزمایشگاهی است. نمودار نیرو-تغییر مکان پانل برشی فولادی در شکل ۱۳ نشان داده شده است. که در آن مدل المان محدود توانسته است به خوبی ظرفیت سیستم را برآورد کند. مقداری اختلاف بین سختی اولیه‌ی به دست آمده از روش المان محدود با نتایج آزمایشگاهی مشاهده می‌شود، که می‌تواند ناشی از وجود تنش‌های پسماند در پروفیل‌های فولادی، عواملی از قبیل وجود لقی‌ها و رواداری‌ها در نمونه‌ی ساخته و نصب شده، وجود تنش‌های اولیه در اتصالات پیچی، عدم تطابق کامل اندازه‌ها و ابعاد بین نمونه‌های آزمایشگاهی و تحلیلی، تقریبی و یا متوسط یوden مدل‌های تحلیلی رفتاری به دست آمده از آزمایش‌های کششی، عدم تطابق کامل بین مودهای کمانشی واقعی با مودهای کمانشی ایده‌آل تحلیلی، و یا عدم تطابق کامل شرایط مرزی در دو روش باشد.

همگراست. همچنین بررسی میران انرژی جذب شده مدل آزمایشگاهی و سایر پارامترها از قبیل ضربی میرایی، نشان دهنده رفتار لرزه‌ی مطلوب این سیستم است. مطالعات آزمایشگاهی و تحلیلی انجام شده در این تحقیق نشان می‌دهد که پانل برشی فولادی در این سیستم نقش یک المان فداکار با توانایی متمن‌کردن خسارات را دارد. از مزایای دیگر این سیستم، می‌توان به امکان تعویض پانل بعد از زلزله‌های شدید اشاره کرد. برای طراحی این سیستم و کنترل اجزای آن، روابطی نیز ارائه شده است. تطابق خوبی بین نتایج حاصل شده از روابط ارائه شده با نتایج حاصل از آزمایش و حل عددی وجود دارد.

در رابطه‌ی ۳، $T_y(Brace)$ نیروی تسلیم کششی در اعضای مهاربندی است و در رابطه‌ی ۴، $P_{cr}(Brace)$ نیروی کمانش حدی مهاربند در فشار، Ω ضربی اضافه‌ی مقاومت است که در این حالت براساس آئین نامه‌ی ASCE-۷-۰۵ در حدود ۲/۵ برابر این نوع سیستم پیشنهاد می‌شود.^[۱] نتایج حاصل از این روش طراحی در شکل ۱۳ نشان داده شده است و مطابقت خوبی بین این نتیجه با نتایج حاصل از آزمایشگاه مشاهده می‌شود.

۶. نتیجه‌گیری

این تحقیق با استفاده از کمک‌های مالی پژوهشگاه بین‌المللی زلزله‌شناسی و مهندسی زلزله و شرکت سیکا پارسیان در سال ۱۳۸۹ صورت گرفته است که بدینوسیله از همکاری اعضا اگروه آزمایشگاه سازه و گروه پژوهشکده مهندسی تقدیر می‌شود.

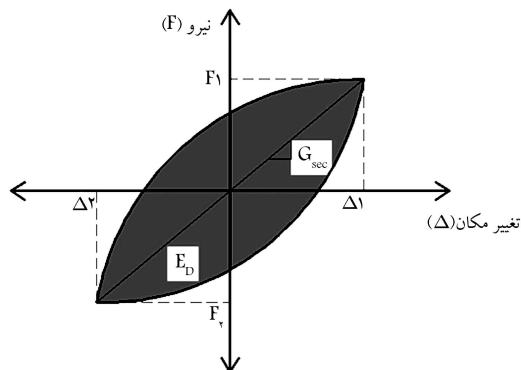
پانوشت‌ها

1. pure shear mechanism
2. tension field mechanism
3. coupon-test
4. rapid strength deterioration
5. slow strength deterioration
6. displacement-controlled quasi-static cyclic loading
7. kinematic hardening plasticity
8. rate independent
9. eigen-value buckling analysis
10. small displacement non-linear analysis
11. large displacement transient non-linear analysis
12. initial imperfection
13. large displacement non-linear analysis

منابع (References)

1. Nakagawa, S.; Kihara, H.; Torii, S.; Nakata, Y.; Fukuda, K.; Iwata, M. and Fujisawa, K. "Hysteretic behavior of low yield strength steel panel shear wall", *11th World Conference on Earthquake Engineering*, Acapulco, Mexico, pp. 171-178 (June 1996).
2. Rai, D. and Wallace, B. "Aluminum shear-links for enhanced seismic resistance", *Earthquake Engineering Struct. Dyn.*, **27**(4), pp. 315-342 (1998).
3. Bruneau, M. and Bhagwagar, T. "Seismic retrofit of flexible steel frames using thin infill panels", *Engineering Structures*, **24**(4), pp. 443-453 (April 2002).
4. Foti, D. and Zambrano, A. "Shear panel for seismic protection of structures", *13th World Conference on Earthquake Engineering*, Vancouver, B.C., Canada, pp. 1991 (August 2004).
5. Tanaka, K. and sasaki, Y. "Hysteretic performance of shear panel dampers of ultra-low yield- strength steel for seismic response control of buildings", *12th World Conference on Earthquake Engineering*, pp.1248 (2000).
6. De Matteis, G.; Mazzolani, F.M. and Panico, S. "Experimental tests on pure aluminum shear panels with welded stiffeners", *Engineering Structures*, **30**(6), pp. 1734-1744 (2008).
7. Vargas, R. and Bruneau, M. "Analytical response and design of buildings with metallic structural fuses", *Journal of Structural Engineering*, **135**(4), pp. 383-393 (April 2009).
8. Formisano, A.; De Matteis, G. and Mazzolani, F.M. "Numerical and experimental behaviour of a full-scale RC structure upgraded with steel and aluminum shear panels", *Computers and Structures*, **88**, Issue 23-24, pp.1348-1360 (2010).
9. Mazzolani, F.M. "Innovative metal systems for seismic upgrading of RC structures", *Journal of Constructional Steel Research*, **64**(7-8), pp. 882-895 (2008).
10. De Matteis, G.; Brando, G.; Panico, S. and Mazzolani, F.M. "Cyclic behaviour of bracing type pure aluminum shear panels (BTPASPs): Experimental and numerical analysis", *The 14th World Conference on Earthquake Engineering*, (2008).
11. Mofid, M. and Tajammolian, H. "A parametric study on seismic behavior of one-story steel frames using yielding elements", *14th World Conference on Earthquake Engineering*, Beijing, China, (October 2008).
12. Alavi, E. Nateghi, A., F. "Analytical and Experimental Study on Diagonally Stiffened Steel Plate Shear Walls," Ph.D. Thesis, International Institute of Earthquake Engineering and Seismology, IIEES, (August 2010).
13. Nateghi, F. and Alavi, E. "Theoretical seismic behaviour of steel plate shear walls", *The 14th World Conference on Earthquake Engineering*, Beijing, China, (October 2008).

- ence on Earthquake Engineering*, Beijing, China, No. 05-050120, (2008).
14. Alavi, E. and Nateghi, F. "Nonlinear behavior of diagonally stiffened steel plate shear walls", *9th US National and 10th Canadian Conference on Earthquake Engineering*, pp. 45 (2010).
 15. Applied Technology Council, ATC-24, *Guidelines for Cyclic Seismic Testing of Component of Steel structures*, Redwood City, CA (1992).
 16. ASTM, A., 370-03a, *Standard Test Methods and Definitions for Mechanical Testing of Steel Products* ASTM International, 100 Barr Harbor Drive, PO Box C700, West Conshohocken, PA 19428-2959, United States (2005).
 17. Chen, W. and Zhang, H. "Structural plasticity theory, problems, and CAE software", Springer-Verlag, New York Inc. (1991).
 18. Topkaya, C. and Atasoy, M. "Lateral stiffness of steel plate shear wall system", *Thin-Walled Structures*, **47**(8-9), pp. 827-835 (2009).
 19. Alavi, E., Nateghi, A., F., "Theoretical and Analytical Study of Non-Linear Behavior of Diagonally Stiffened Steel Plate Shear Walls", *ESTEGHLAL Journal of Engineering*, Isfahan University of Technology, **28**, (1), pp. 75-92 (2009).
 20. Berman, J. and Bruneau, M. "Plastic analysis and design of steel plate shear walls", *Journal of Structural Engineering, ASCE*, **129**(11), pp. 1448-1456 (November 2003).
 21. AISC 7-05, *Minimum Design Loads for Buildings and Other Structures*, ISBN 0-7844-083 pp.1-9 (2005).
 22. Roy, R. Craig, and Andrew J. Kurdila, *Fundamentals of Structural Dynamic*, Second Edition, Published by John Wiley & Sons, Inc., New Jersey, ISBN 13: 978-0-471-43044-5 (2006).



شکل ۱. یک حلقه از منحنی هیسترزیس سیستم.

پیوست

I: زاویه‌ی پیشنهاد شده براساس استاندارد طراحی فولادی کانادا (CAN/CSA-S16-01) براساس مطالعات کولاک و همکاران برای است با:

$$\tan^4 \alpha = \frac{\frac{t}{t.b} + \frac{c}{A_c}}{\frac{t}{t.b} + \frac{t.d}{A_b.b} + \frac{d^4}{180.I_f.b^4}}$$

$$\theta = 90^\circ - \alpha$$

در این روابط A_b و A_c به ترتیب سطح مقطع ستون و تیر، b و d به ترتیب عرض و ارتفاع پانل، t ضخامت ورق پرکننده، I_f ممان اینرسی ستون و زاویه‌ی میدان‌های کششی با افق است.

II: پارامترهای رفتاری مطابق شکل ۱^[۲۲]

۱. انرژی مستهلك شده: سطح زیر هر حلقه‌ی منحنی هیسترزیس (E_D):

۲. سختی سکانت:

$$G_{sec} = \frac{\Delta F}{\Delta L} = \frac{F_v - F_r}{\Delta_v - \Delta_r}$$

$$\zeta = \frac{1}{4\pi} \left(\frac{E_D}{E_S} \right)$$

$$E_S = \frac{1}{\lambda} (F_v - F_r) \times (\Delta_v - \Delta_r)$$